

Journal of the Korean Ceramic Society
Vol. 13, No. 1, 1976
Printed in Republic of Korea

Chamotte 質 耐火物의 強度에 미치는 遊離 Silica 의 影響

朴 金 磊 · 崔 泳 變

漢陽大學校 烹業工學科

(1976年 1月13日 接受)

The Effect of Free Silica on the Strength of Chamotte Refractory

Keum-Churl Park and Young-Sup Choi

Department of Ceramic Engineering, Han-Yang University

(Received Jan. 13, 1976)

ABSTRACT

The effect of quartz which exists in clays, especially in kaolin used for the production of chamotte sagger, on the strength of refractory was examined.

In this study, a mixture of chamotte 50%, kaolin 25%, plastic clay 25% in ternary component system was selected as a batch composition.

To this mixture 1%, 3% and 5% of feldspar and sericite were added respectively.

The plastic clay used here was separated under 170 mesh by wet process.

Feldspar and sericite were separated under 325 mesh by dry process.

In order to change the particle size and the content of quartz, the kaolin was separated under 60, 115, 170 and 325 mesh by wet process, substituted quartz for coarse parts of it.

Chamotte was classified into three grades, coarse (5-10 mesh): medium (10-20mesh): fine (20-115 mesh) and the ratio was 1:1:1.

Samples were formed in 0.8x1x10cm size with 12.5% water at 160kg/cm² pressure, and fired at 1300°C for 1 hr.

The fired samples were investigated by means of x-ray diffraction analysis and microscopic observation, and the physical properties of them were also examined, such as firing shrinkage, apparent specific gravity and bulk specific gravity, apparent porosity, water absorption and modulus of rupture.

The obtained results are as follows:

- When screened kaolin with low content of quartz was added to fixed chamotte-plastic clay system, the sample lowered modulus of rupture and increased apparent porosity as the size of kaolin became finer.
- When kaolin under 325 mesh with 7.2-15.81% quartz between 60-325 mesh was added to fixed chamotte-plastic clay system, the sample had higher apparent porosity and lower modulus of rupture as the size and the amount of quartz became larger.
- The addition of feldspar and sericite to chamotte-plastic clay system improved apparent porosity and modulus of rupture. The effect of feldspar was better when quartz content was low, although that of sericite was better when quartz content was high.

I 緒 言

耐火匣으로 많이 사용되는 材質에는 chamotte, mullite, cordierite, silicon carbide 等이 있으며, 小規模工場에서는 아직도 chamotte 質이 많이 使用되고 있다. chamotte 的 構成相은 mullite, cristobalite 및 유리相이며, 이 相들은 原料粘土의 化學組成과 成形, 烧成等 處理條件에 따라 그 量과 成分가 變한다¹⁾. 그린데 chamotte 質 耐火匣은 SK 15 附近에서 烧成하므로 配合에 加해진 骨材 chamotte 中에는 cristobalite 가 存在하겠고, 結合粘土에 混在한 遠離石英은 573°C 에서 $\alpha \rightleftharpoons \beta$ 型 轉移는 일어나나 1250°C 에서 β -cristobalite への 轉移는 遲鈍型이므로 거의 일어나지 않을 것이다.²⁾ 따라서 chamotte 質 耐火匣의 構成相中 石英은 573°C 에서, cristobalite는 180~275°C 에서 각각 $\alpha \rightleftharpoons \beta$ 轉移로 膨脹收縮이 甚하므로^{3,4)} 加熱冷却의 反複될 때 材質의 弱化가 일어날 것으로 생각된다. 또한 半珪石質 耐火物은 高溫에서 膨脹하는 硅石에, 高溫에서 收縮하는 粘土를 加하여 加熱冷却의 反複에 따른 膨脹收縮을 적게 하고 있다.⁵⁾

本研究는 半珪石質 耐火物과는 달리 多量의 chamotte에 少量의 硅石이 加해질 可能성이 있는 chamotte 質 耐火匣의 製造에 있어서, 原料粘土礦物中에 含有된 硅石이 材質의 強度에 미치는 影響을 究明한 것이다. 實際 耐火匣 製造에서 chamotte 와 粘土를 fret mill에서 混合粉碎하고 있으므로 硅石이 含有된 粘土를 使用할 경우 상당量의 硅石이 混在될 可能성이 있다.

本實驗은 篩分하여段階의 純度를 除去한 kaolin과 그들의 粗粒一部를 硅石으로 替換한 것을, 粒度調整한 chamotte-可塑性粘土系에 25% 씩 加하여 主로 그 強度 特性을 構成과 相關시켜 考察하였다.

II 實驗 方法

1. 使用原料

本實驗에서 使用된 主原料는 晉州產 chamotte, 河東 kaolin, 咸平粘土이며, 添加原料는 金泉珪石, 安養長石, 月城絹雲母이다.

2. 原料의 調整

Chamotte는 粒度配合을 為하여 ball mill에서乾式粉碎하여 5~10 mesh인 粗粒, 10~20 mesh인 中粒, 20~115 mesh인 微粒의 3群으로 調整하였다. kaolin은 粗粒部에多少나마 硅石이 混在될 것으로 보고 60, 115, 170, 325 mesh 篩下로 각각 濕式篩分하였다. 硅石은 fret mill에서粉碎하고, 각 濕式篩分한 kaolin의 325

mesh 篩上分의 粒度分布와 같이 3粒子群으로 粒度分離하였다. 그리고 長石과 絹雲母는 각각 325 mesh 篩下로 調整하였고, 各 調整原料는 化學分析, X線回折分析, DTA, TGA 및 粒度分析을 하였다.

3. 試片 製造

3-1. 原料의 調合

試片의 構成原料는 Table 1과 같다.

3-2. 試片의 成形 및 烧成

試片은 12.5%의 水分과 160kg/cm²의 壓力下에서 金屬型으로 0.8×1×10cm가 되게 成形하였다. 成形匣은 實際의 面을 勘察하여 指定한 것이다. 烧成은 電氣抵抗爐에서 1300°C로 1時間 維持시켰으며 heating schedule은 Fig. 1과 같다.

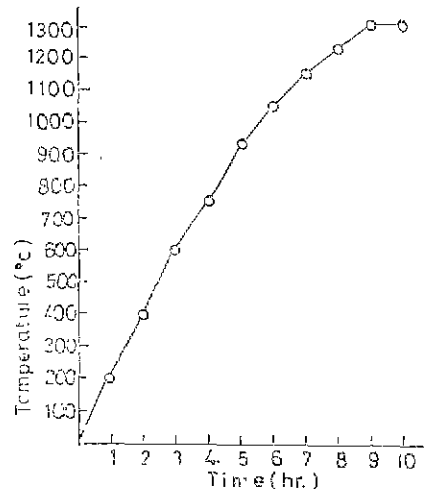


Fig. 1 Heating schedule

3-3. 試片의 物性測定

燒成收縮은 KSL 4004, 比重, 氣孔率, 吸水率은 KSL 3114에 依하여 测定하였고, 摧壊強度는 2個의 垂直 knife edge 上에 試片의 0.8×10cm面이 위로오게 하고 中央部에서 折斷荷重을 测定하였으며, 計算式은 다음과 같다.

$$R=3WL/2BD^2$$

W=試片이 破壊되었을 때의 複荷重(kg)

L=支撐臂의 거리(cm)

B=試片의 나비(cm)

D=試片의 두께(cm)

試片의 領物重과 相對量은 X線回折로 解釋하였다. 組織은 優光顯微鏡으로 觀察하였다.

i) X線回折分析

Table 1. Batch composition of the samples.

Comp. (%)	Chamotte			Clay	Kaolin				Quartz			Feld- spar	Seri- cite
	-5+10 mesh	-10+20 mesh	-20 +115 mesh		-170 mesh	-60 mesh	-115 mesh	-170 mesh	-60 +115 mesh	-115 +170 mesh	-170 +325 mesh		
1	50 3	50 3	50 3	25	25								
2	"	"	"	"		25							
3	"	"	"	"			25						
4	"	"	"	"				25					
1-1	"	"	"	"					21.05	1.14	1.01	1.80	
2-2	"	"	"	"					22.19	"	"		
3-3	"	"	"	"					23.20	"	"		
2-a	"	"	"	"				25				1	
b	"	"	"	"					"			3	
c	"	"	"	"					"			5	
d	"	"	"	"					"			1	
e	"	"	"	"					"			3	
f	"	"	"	"					"			5	
2-2-a	"	"	"	"					22.19		1.01	11.80	1
b	"	"	"	"					"	"	"	3	
c	"	"	"	"					"	"	"	5	
d	"	"	"	"					"	"	"	1	
e	"	"	"	"					"	"	"	3	
f	"	"	"	"					"	"	"	5	

Table 2. Chemical composition of raw materials.

Samples	Chemical Comp. (%)	I _g	Loss	SiO ₂	Al ₂ O ₃	Fe ₂ O ₃	CaO	MgO	Sp. G.
Screened Kaolin (-60 mesh)		13.75	43.44	39.25	3.06	Tr.	Tr.	—	2.52
" (-115 mesh)		13.80	43.38	39.53	2.79	Tr.	Tr.	—	
" (-170 mesh)		13.85	43.16	39.54	3.19	Tr.	Tr.	—	
" (-325 mesh)		13.94	43.36	39.76	3.25	Tr.	Tr.	—	
" (-4-60 mesh)		12.82	44.96	37.40	5.32	Tr.	Tr.	—	
" (-60+115 mesh)		13.32	43.94	37.74	4.26	Tr.	Tl.	—	
" (-115-170 mesh)		13.65	43.95	37.28	3.72	Tr.	Tr.	—	
" (-170+325 mesh)		13.72	43.93	37.18	2.92	Tr.	Tr.	—	
Plastic Clay (-170 mesh)		3.92	67.88	20.48	2.26	1.50	0.47	—	2.56
Chamotte		0.98	46.32	41.93	3.75	—	—	—	2.70
Feldspar		1.29	72.32	22.42	2.00	0.10	0.06	—	
Sericite		3.81	46.76	37.25	3.09	Tr.	1.32	—	
Quartz		0.71	98.10	0.26	0.19	—	—	—	2.57

Cu-target, Ni-filter, 30kv-15mA, counter:GM., full scale:100CPS, scan speed:2°C/min, chart speed: 200 mm/min.

ii) 示差熱分析
heating rate: 10°C/min, Pt-PtRh 複熱傳對
Standard sample: α -Al₂O₃, range:250

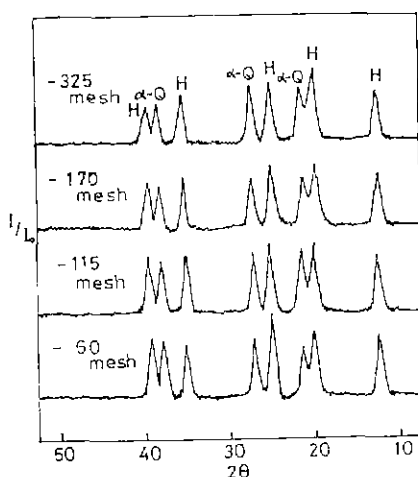


Fig. 2-a. X-ray diffraction patterns of screened kaolins.

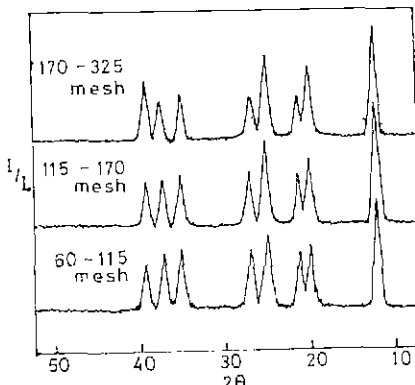


Fig. 2-b. X-ray diffraction patterns of screened kaolins.

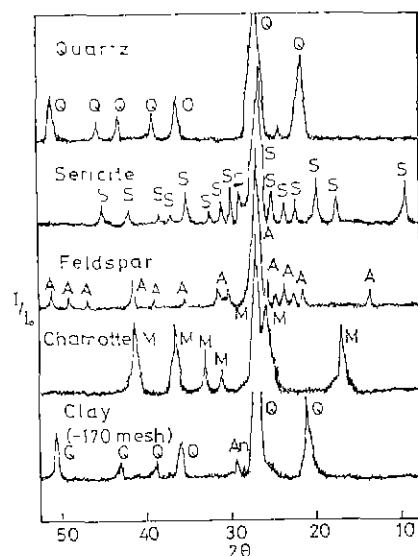


Fig. 2-c. X-ray diffraction patterns of raw materials.

iii) 加熱減量分析

heating rate: $10^{\circ}\text{C}/\text{min}$, range: 200

III 結果 및 考察

1. 使用 原料의 特性

使用 原料의 化學組成은 Table 2 와 같고, 그 X線回折圖는 Fig. 2-a, 2-b, 2-c 와 같다. 또한 DTA 및 TGA 曲線은 각각 Fig. 3, 4 와 같다며, kaolin 과 粘土의 粒度分布는 Fig. 5 와 같다.

化學分析表나 X線回折, DTA, TGA 曲線으로 보아서 kaolin 은 主 鎳物이 halloysite 와 α -quartz이며 節分에 따른 鎳物 組織의 變化는 큰 差異를 보여주고 있지 않다. 그리고 kaolin 的 粒度分布는 다같이 微粒側의 分布가 많으며, 20μ 以下의 粒子가 70~90%를 차지하고 있다.

Chomotte 는 mullite 가 主 鎳物이며, cristobalite 는 其의 유리相에 溶解된 것으로 보아지며, 長石은 soda 長石에 屬한다. 絹雪母과 珪石은 各各 絹雪母와 α -石英의 特性 peak 만을 나타내고 있다. 그리고 可塑性粘

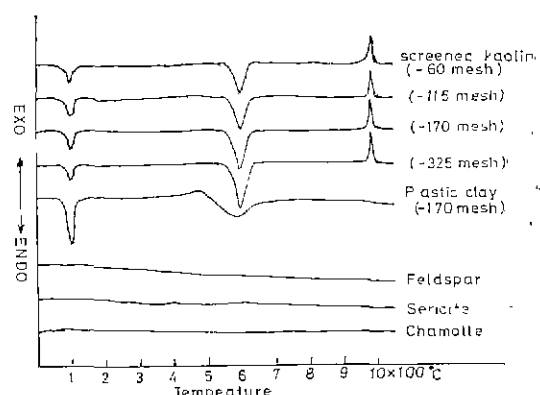


Fig. 3. D.T.A. curves of raw materials.

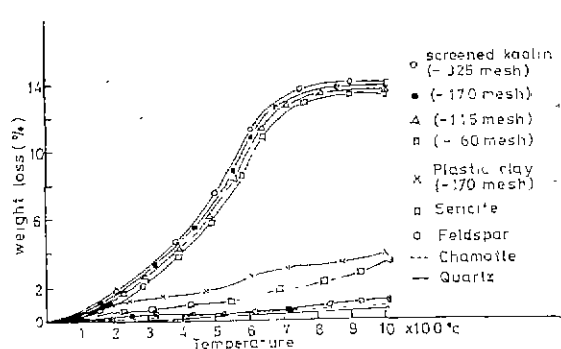


Fig. 4. T.G.A. curves of raw materials.

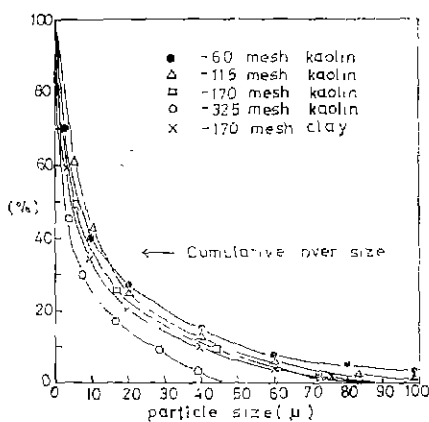


Fig. 5. Size distribution curves of the materials.

土는 α -quartz의 特性 peak 뿐만 아니라 d 값 3.26, 3.20, 3.17 Å에서 灰長石의 特性 peak가 微弱하게 보이며, 560°C近方에서 kaolin 鑽物의 特性인 吸熱 peak가 나타나고 있으나 980°C에서의 發熱 peak는 보이지 않는 異質的인 것이다.

2. 試片의 物性

試片의 物性測定結果는 Table 3과 같다. 焼成收縮은 1.28~2.98%이며, 大體로 chamotte 可塑性粘土系에 硅石含量이 적은 kaolin을 加한것이 第一 작고, 硅石이 含有된 kaolin을 加한것은 이보다 若干 큰 値向이 있으며, 添加劑를 加한것은 가장 크게 나타났다.

그리고 焼成試片의 X線回折結晶相은 다같이 mullite, α -cristobalite 및 α -quartz이며, (Fig. 6, Fig. 7) 原料中에 含有된 硅石은 1300°C의 焼成條件下에서는 cristobalite에의 轉移가 完結되지 않았음을 말해 주고 있다.

Table 3. Properties of the samples.

Properties Sample No.	firing Shrinkage (%)	App. Sp. G.	Bulk Sp. G.	App. porosity (%)	Water absorption (%)	Modulus of rupture (kg/cm ²)
1	1.36	2.62	2.11	19.88	9.31	107.6
2	1.28	2.77	2.20	20.45	9.24	106.2
3	1.31	2.68	2.12	20.56	9.68	105.3
4	1.32	2.67	2.12	20.73	9.77	92.6
1-1	1.41	2.47	1.98	21.46	10.29	73.6
2-2	1.52	2.49	2.02	20.69	9.44	76.5
3-3	1.48	2.59	2.07	21.22	9.30	79.8
2-a	2.44	2.54	2.02	20.25	10.03	110.1
b	2.35	2.54	2.06	19.40	9.29	147.4
c	2.80	2.59	2.12	19.32	8.65	151.0
d	1.92	2.60	2.07	20.41	9.48	105.9
e	2.20	2.62	2.05	20.11	9.99	110.2
f	2.98	2.60	2.08	19.72	9.48	120.3
2-2-a	2.44	2.63	2.07	20.52	10.26	98.9
b	2.25	2.64	2.10	20.20	9.60	107.6
c	2.68	2.62	2.11	19.73	9.30	119.4
d	2.06	2.60	2.07	20.48	9.95	97.7
e	2.38	2.61	2.08	20.12	9.82	113.8
f	2.63	2.56	2.08	18.96	9.13	137.3

2-1 使用 kaolin 的 影響

一定한 chamotte-可塑性粘土系에 加해진 kaolin의 部分 効果가 焼成試片의 결보기 氣孔率 및 破壊強度에 미치는 影響을 圖示하면 Fig. 8과 같다. 여기서 보면 kaolin을 部分하여 微粒部를 擇할수록 破壊強度는 大體로 減少하고 있으며 결보기氣孔率은 增加하고 있다. 이와 같은 事實은 다음과 같이 解釋된다. Westman^{6,7)}이

報告한 chamotte 3成分粒子系의 充填度分布圖에서 粗, 中, 微粒이 각각 $\frac{1}{3}$ 인 것은 그 氣孔率이約 27%임 등이 關係는 다음과 같은 式으로 表示된다.

$$\frac{V_p}{V_p + V_t} \times 100 = 27\% \quad (1)$$

여기서 V_p 는 氣孔容積, V_t 는 固體 即 chamotte의 容積이다. 萬若 粘土와 kaolin이 chamotte의 間隙 即 V_p

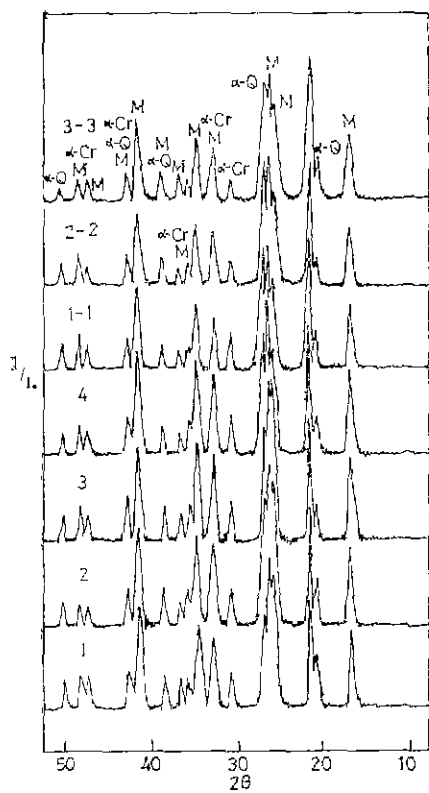


Fig. 6. X-ray diffraction patterns of the samples.

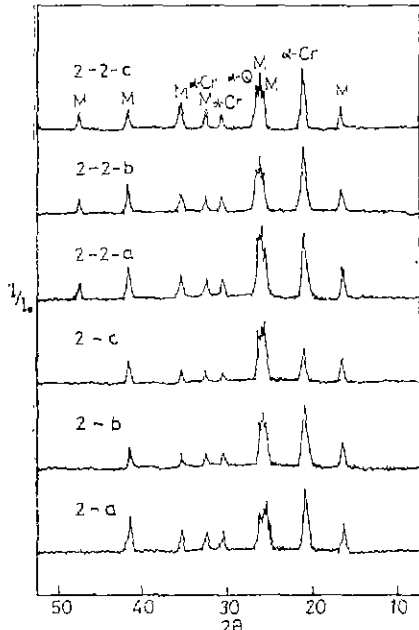


Fig. 7-a X-ray diffraction patterns of the samples (Feldspar added)

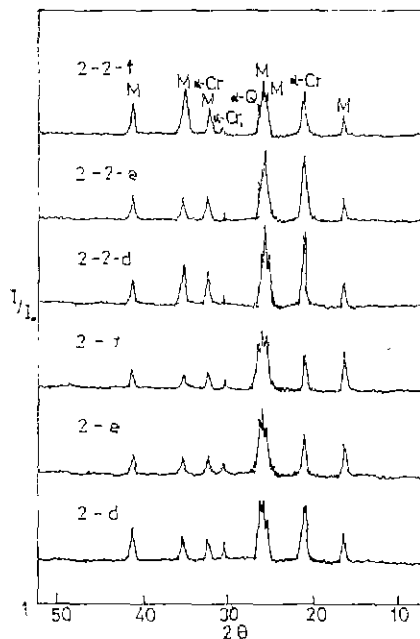


Fig. 7-b X-ray diffraction patterns of the samples. (sericite added)

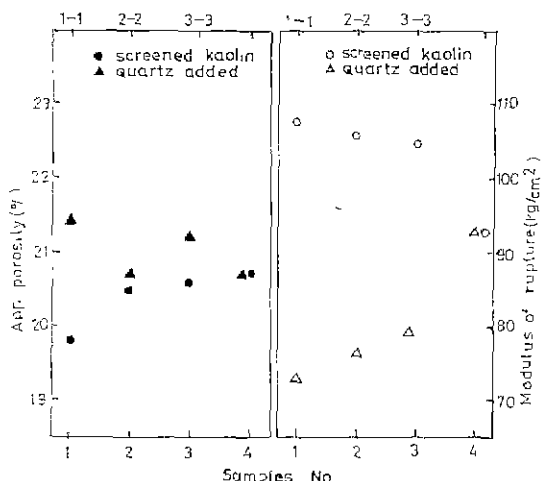


Fig. 8. Relation between modulus of rupture and apparent porosity.

만을 데구어 最密充填 紹織을 갖기로 한다면 다음과 같은關係가 成立되며,

$$100 \left(\frac{Wc_1}{\rho c_1} + \frac{Wc_2}{\rho c_2} \right)$$

$$/ \left[\left(\frac{Wc_1}{\rho c_1} + \frac{Wc_2}{\rho c_2} \right) + \frac{Wt}{\rho t} \right] = 27(\%)$$

이기서 ρc_1 , ρc_2 및 ρt 는粘土, kaolin 및 chamotte의

比重이고 W_t 는 chamotte 의 使用부체(g), W_{c_1} 과 W_{c_2} 는 氣孔을 떼었는데 必要로 하는 粘土와 kaolin 的 使用量(g)이 된다. 그런데 $\rho_t=2.70$, $\rho_{c_1}=2.56$, $\rho_{c_2}=2.52$ 이니, $W_t=50(g)$, $W_{c_1}=25(g)$ 이므로 $W_{c_2}=-7.36(g)$ 이다. 이는 25%의 粘土量은 chamotte 의 間隙을 填구하고 남았음을 意味한다. 따라서 微粒의 粘土와 kaolin 은 chamotte 粒子의 間隙만을 填ぐ 것이 아니고 오히려 相中, 微粒의 chamotte 를 Fig. 9 와 같이 粘土, kaolin 이 分散, point in시키는 組織을 具有한다.

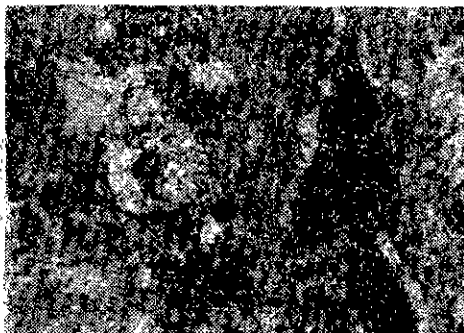


Fig. 9 Microscopic observation of the sample 1. ($\times 60$)

그런데 元來 kaolin 粒子는 $0.01 \sim 1\mu^{8,9}$ 정도로 微細 하므로 kaolin 粒子의 界面은 見을 것이다며, kaolin 은 热分解로 脱水가 되어 烧結過程에서 界面間에 内包된 氣體나 脱水로 發生한 氣體가 一部는 組織中에 密閉되기도 하겠지만 開放氣孔을 形成할 可能성이 크다. 따라서 微細한 kaolin 을 使用할수록 氣孔率은 增加하고 反對로 粗粒이 存在한 kaolin 일수록 微粒 kaolin 量은 즐여들이 氣孔率이 減少된다고 解釋된다. 破壊強度는 構造敏感性이므로 粒界나 氣孔等 弱한 部分에 左右되며, 또한 氣孔이 多을수록 骨材部가 破壊될 수록 減少될 可能성이 많다.

2-2. kaolin에 含有된 硅石의 影響

kaolin 中에 硅石을 混在시킨 試片의 破壊強度와 氣孔率關係는 Fig. 8 같은데, 含有 硅石이 多을수록 試片의 氣孔率은 大體으로 增加되는 傾向에 있고 破壊強度는 減少하고 있으며 이 事實은 다음과 같이 解釋된다.

kaolin 的 粗粒部分을 그와같은 粒度分布를 갖인 硅石으로 代替하였을때 代替하지 않은 kaolin 을 使用할 때보다 試片의 氣孔率은 크고, 破壊強度는 작아졌다. 이 理由는 粒度分布가 같다할지라도 粒子의 種類, 形狀, 界面 特性等에 따라서 填充狀態와 烧結過程이 다르므로 明白하지 않다. 그러나 代替物인 硅石의 量이 적고 粒子의 크기가 작을수록 氣孔率은 減少하고, 破壊

強度는 增加하는 結果로 보아 硅石이 氣孔率과 破壊強度變化를 가져오는 因子의 하나라고 볼 수 있다. 即 代 用 硅石量이 적을수록 破壊強度가 增加하는 것은 試片中의 遠離 silica 가 冷却過程에서 β -quartz \rightarrow α -quartz, β -cristobalite \rightarrow α -cristobalite의 轉移를 일으켜 silica 粒子周邊結合의 弱化를 가지오고, 이에 또한 強度弱化的 原因에 屬한 開放氣孔도 形成시킨 것으로 생각된다.

2-3 添加劑 影響

2調合物과 2-2調合物에 長石과 網雪母를 각각 1, 3, 5%씩은 添加한 것의 特性中 破壊氣孔率과 破壊強度의 関係는 Fig. 10, Fig. 11 과 같다.

여기서 보면 長石와 網雪母의 添加量이 增加할수록

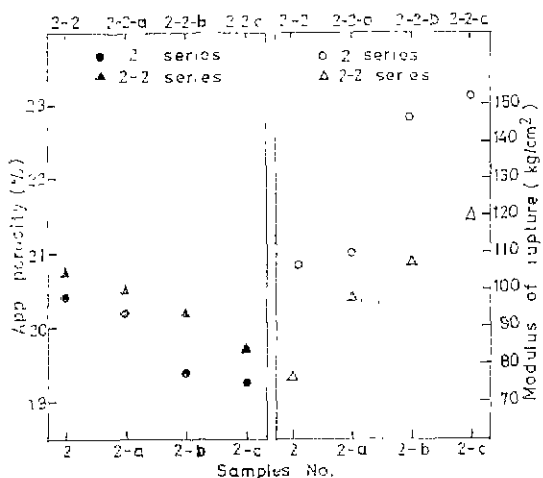


Fig. 10. Relation between modulus of rupture and apparent porosity.

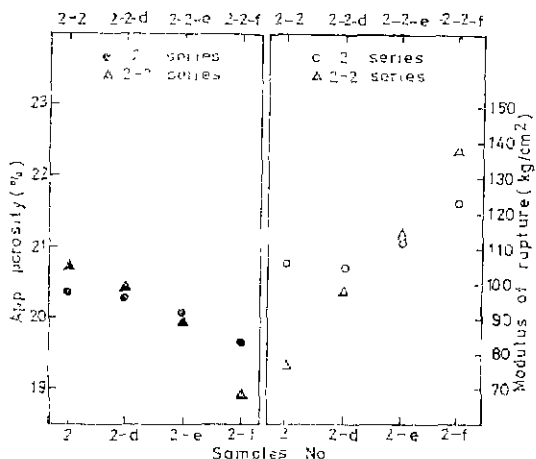


Fig. 11. Relation between modulus of rupture and apparent porosity.

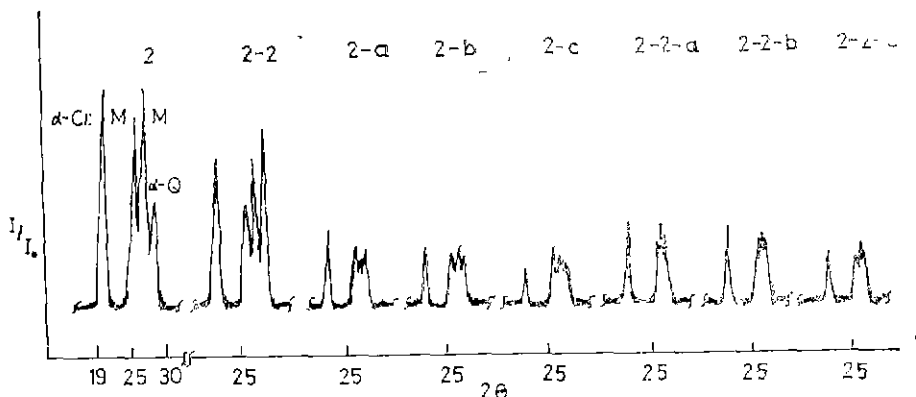
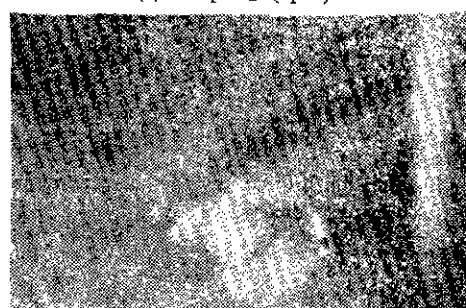


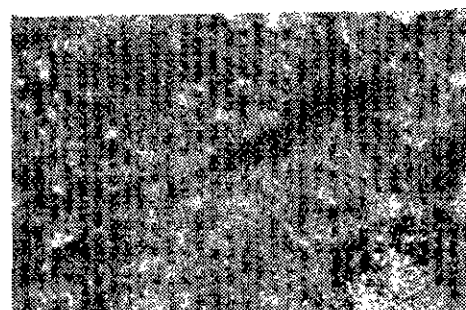
Fig. 12. X-ray diffraction patterns of the samples (Kaolin-Quartz-Feldspar)



(a) Sample 1 (open)



(b) Sample 1(Close)



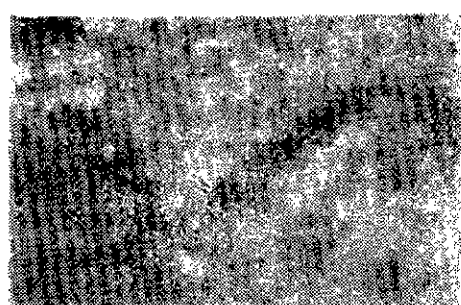
(c) Sample 2-c (Close)

Fig. 13-a Microscopic observation of the sample 1 and the sample 2-c. ($\times 60$)

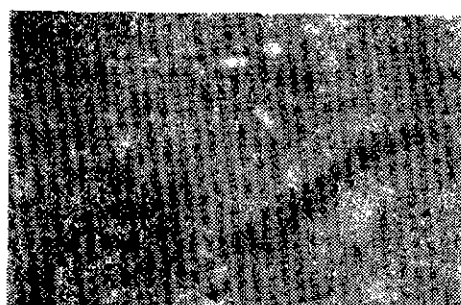
결보기氣孔率은 增加하고 있다 그리고 原 kaolin 調合에 長石을 添加한 것은 粗粒一部를 瓦石으로 代替한 調合보다 氣孔率의 減少率과 摧毀強度의 增加率이 크다. 그러나 絹雲母를 添加한 것은 長石 添加의 影響과 反對로 粗粒一部를 瓦石으로 代替한 調合이 氣孔率의 減少率과 摧毀強度의 增加率이 크다. 이와같은 事實은 다음과 같이 解釋된다.

A. 長石 添加의 影響

長石을 添加하지 않은 2 및 2-2 調合과 이것에 長



(a) Sample 2-f (open)



(b) Sample 2-f (close)

Fig. 13-b Microscopic observation of the sample 2-f. ($\times 60$)

石을 添加한 調合의 X線回折 分析을 比較하면 Fig. 12 와 같이 α -cristobalite ($d=4.05\text{\AA}$)와 mullite ($d=3.42, 3.39\text{\AA}$)의 回折強度는 長石의 添加量이 增加할수록 차차 減少되고 있다. 그리고 顯微鏡 觀察 結果 (Fig. 13-a) 長石가 添加되므로써 유리相과 不透光性 紙物이生成되었으며 氣孔이 減少되고 있다. 이 紙物들은 長石가 silica 와 mullite에 對한 融剤로 作用하여 유리相을 이루었음을 立證한 것이다. 그리고 長石의 添加에 따른 氣孔率의 減少는 長石를 添加하지 않은 試片의 空隙部分을 유리相이 填充한 主原因이 있다고 解釋된다. 또한 長石 添加로 因한 強度增加는 強度低下를 가져오는 氣孔部가 유리相으로 代替된 点과 試片의 冷却過程에서 轉移로 結合의 弱化를 일으키는 遊離石英이 유리相으로 되어 그 量이 減少된대 主原因이 되는것으로

로 思料된다.

B. 網雲母 添加의 影響

網雲母의 添加量이 增加할때도 mullite, cristobalite의 X線回折強度는 減少되고 (Fig. 14) 氣孔은 출비 代身 유리相이 增加되고 있다. (Fig. 13-b) 따라서 積보기氣孔率低下의 깨임強度增加는 長石의 効果와 같이 生成된 유리相의 氣孔 代置와 遊離石英의 減少가 그 主原因이라고 생각된다. 그런데 積보기氣孔率 減少와 깨임強度의 增加率이 kaolin의 粗粒一部를 珪石으로 代替한것보다 原 kaolin을 使用한것이 큰理由는 같은量의 網雲母를 添加했을때 cristobalite 와 Mullite의 回折強度 및 그들의 相對比가 비슷한것으로 보아 長石質로 形成된 유리相의 粘度가 網雲母에 依한 유리相보다 작아서 均一하게 組織內에 스며들기 때문이 아님작 생각된다.

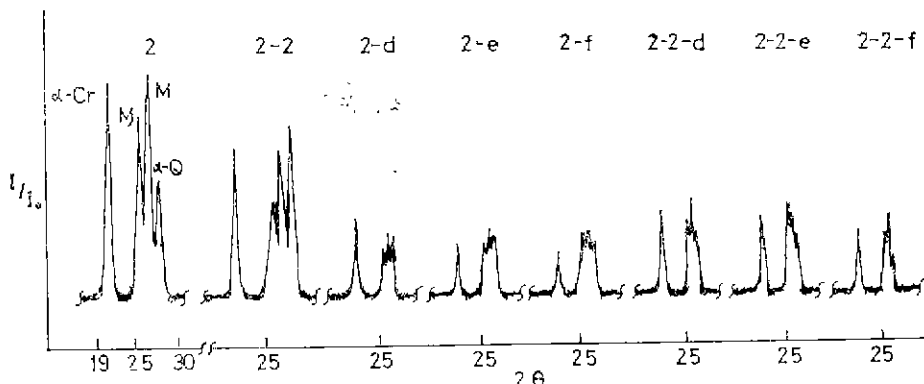


Fig. 14. X-ray diffraction patterns of the samples. (Kaolin-Quartz-Sericite)

IV 結 言

chamotte 質 耐火物의 構成 成分으로서의 遊離石英이 強度特性에 미치는 影響을 明確하기 為하여 粒度調整한 chamotte 50%, 粒度와 組成을 變化시킨 kaolin 25%, 可塑性 粘土 25%인 基本 配合에서 얻어진 結果는 다음과 같다.

- 一定한 chamotte-可塑性粘土系에 珪石 混在量이 적은 kaolin을 加한 것은 微細 kaolin 일수록 耐火物의 積보기氣孔率과 깨임強度가 나빠지고 있다.
- 60~325 mesh 節間의 kaolin 粗粒部를 7.2~15.81 %의 珪石으로 置換하여 一定한 chamotte-可塑性粘土系에 加하면 珪石의 粒子가 크고, 量이 많을수록 積보기氣孔率과 깨임強度는 나빠진다.
- chamotte-kaolin-可塑性粘土系에서 長石과 網雲

母는 積보기氣孔率과 깨임強度를 改善시키는데 効果的이며, 長石은 珪石 混在量이 적은系에, 網雲母는 長石이 많이 混在한系에서 効果가 크다.

參 考 文 獻

- 吉木文平, “耐火物工學” 2nd ed. p75~77, 316~317, 技報堂, 東京, (1963).
- F. H. Norton, “Refractories” 3rd ed. p. 187~192, McGraw-Hill Book Company, Inc., New York, (1959).
- 吉木文平, “耐火物工學” 2nd ed. p. 232~234, 技報堂, 東京, (1963).
- M. D. Beals and S. Zerfoss, “Volume Change Attending Low-to-High Inversion of Cristobalite” J. Am. Ceram. Soc., 27(10), 285~292(1944).

- 5) G. E. Remmey, "Some Properties of Semisilica Brick" *J. Am. Ceram. Soc.*, 22(6), 195~199(1939).
- 6) A. E. R. Westman and H. R. Hugill "The Packing of Particles" *J. Am. Ceram. Soc.*, 13(10), 767~779(1930).
- 7) A. E. R. Westman, "The Packing of Particles: Empirical Equations for Intermediate Diameter Ratios" *J. Am. Ceram. Soc.*, 19(5), 127~129(1936).
- 8) A. L. Johnson and F. H. Norton, "Fundamental Study of Clay:III, Casting as Base-Exchange Phenomenon" *J. Am. Ceram. Soc.*, 25(g), 336~344 (1942).
- 9) F. H. Norton, A. L. Johnson and W. G. Lawrence, "Fundamental Properties of Clay: IV, Flow Properties of Kaolinite-Water Suspension." *J. Am. Ceram. Soc.*, 27(5), 149~164(1944).